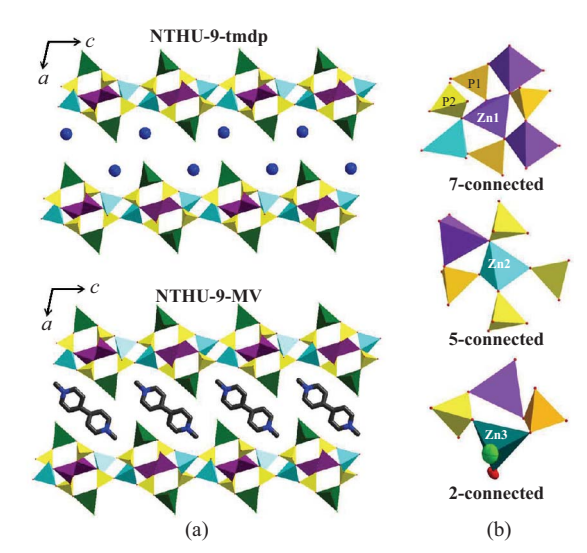
具有光致發光與光致變色性質的層狀材料: 深共熔溶劑中化學反應的新發現

清華大學化學系 黃惠琳 張佩琪 王素蘭

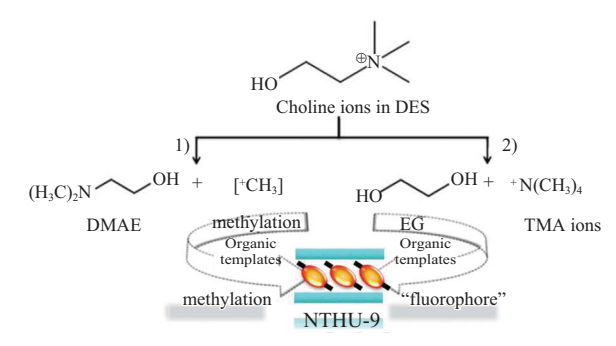
在合成新穎功能性物質的過程中,能夠兼具 經濟與有環保效益,讓起始反應物種完全參與反 應、避免使用含有毒性或具有揮發性的有機溶劑 的反應,是合成化學家嚮往追求的途徑。在此考 量下,以便宜的膽鹼 (choline) 爲基底的深共熔 溶劑(deep-eutectic solven, DES) [1-4]勿庸置疑是 相當理想的。DES 具有高黏滯性、無揮發性、不 具毒性,常被視爲是離子液體(ionic liquid, IL)的 一種,然而 DES 與 IL 本質上並不完全相同,因 爲 IL 的組成全是離子, DES 中既有離子也有分 子,可說是介於一般分子溶劑與 IL 之間。因爲 DES 是由兩種高熔點的有機固體形成的低熔點 共晶而成一(1)離子性鹽類 (choline chloride; 氯 化膽鹼)(2)分子化合物(尿素/尿素衍生物或羧 酸)[2],除了可以溶解許多低溶解度的金屬氧化 物、易製備的優點外,價格更較 IL 低廉許多。 在離子熱反應(ionothermal reaction)中, DES 不僅 具生物分解性,還具多種用途性[5-7]。近來,以 膽鹼爲基底的 DES 在用於創造新穎功能性物質 方面,有許多重要的進展[3-4]。在離子熱反應條 件下,常因組成中分子(尿素或尿素衍生物)分 解,直接成爲產物結構的建構單元,而增加了 DES 的用途與提升產物結構的多樣性[1]。著名 的例子包含了不含活化金屬的黃綠光奈米小管 結構,及特殊的 MOF 儲氫材料[3-4]。在以上提 到的物質,結構內的橋基或模板等皆來自於 DES 中分子的成分。相較之下, DES 中的膽鹼離子被 視爲一個穩定成分,在過去的研究中,未曾被懷 疑其有分解的可能性。直至今日,在以膽鹼爲基 底的 DES 中,膽鹼離子($[(CH_3)_3NC_2H_5OH]^+$)的化 學活性從未被探討過。

在開放性骨架的金屬磷酸鹽(MPO)系統中,我們使用氯化膽鹼與草酸水合物所組成的 DES 作爲溶劑製備新穎的螢光粉材料[4,8],於 是繼黃綠光螢光粉 NTHU-7 [4]之後,我們首度



圖一 NTHU-9 無機層的多面體圖。(a) 9-tmdp 層間失序化的膽鹼離子(只有 N 原子可被定出)(上)與 9-MV 層間的雙甲基化 bpy 分子。(b)結構中三種不同連結形式的鋅四面體。藍色、綠色、與紅色圓球分別代表氮、氯與氧原子

合成到不含金屬活化劑的橘光螢光粉 NTHU-9 [9],爲一種含有機模板的層狀鋅磷酸鹽 (圖一)。過去,由羧酸與氯化膽鹼組合而成的 DES 被視爲比尿素與氯化膽鹼的組合更穩定,一直不曾懷疑其在反應過程中會分解[4,10]。但是在NTHU-9 結構的模板中,與我們預期的不同,在仔細檢查反應產物與反應後的濾液,我們鑑定出非預期的"成分",引領我們發現膽鹼離子在離子熱條件下,同步發生兩條路徑的化學反應 (圖二):(1)膽鹼離子去甲基化(demethylation),成爲methylium (CH₃⁺)離子與 2-(dimethylamino)ethanol (DMAE);(2)膽鹼離子水解,形成乙二醇(ethylene glycol, EG)以及三甲胺(trimethylamine),其中三甲胺會進一步與 CH₃⁺反應成爲四甲基銨(tetramethylammonium, TMA)離子。而路徑(1)中



圖二 離子熱反應中, DES 中膽鹼離子可同時發生的兩條化學反應路徑:1)膽鹼離子去甲基化以及有機模板的 N,N-雙甲基化。2)膽鹼離子水解,形成 EG 分子後進入NTHU-9結構中,與有機模板形成螢光團

產生的 CH_3^+ 離子也會與起始物中的有機胺類 4,4'-三亞甲基二吡啶(4,4'-trimethylenedipyridine, tmdp)或 4,4'-聯吡啶(4,4'-bipyridine, bpy)反應,形成 N,N'-dimethylated 模板,意即[(CH_3) $_2$ tmdpl $^{2+}$ 與[(CH_3) $_2$ bpyl $^{2+}$,由於這兩種物質出現,成為 NTHU-9 結構中的模板,讓我們得到第一個兼具 光致發光與光致變色雙性質的金屬磷酸鹽,不僅帶領我們在 MPO 系統中朝新穎螢光粉的製備更進一步,還使我們能發現 DES 內未曾被探索過的化學本質。

NTHU-9 是在氯化膽鹼與草酸水合物的 DES 中反應所得到的層狀鋅磷酸鹽,具有獨特的 二維結構(圖一)。無機層 $[Zn_3Cl(H_2O)(PO4)_2]^-$ 的 Zn/P 比例異常高,推測是因為 ZnO 在 DES 中有著較一般分子溶劑還要高的溶解度[2c]。根 據文獻報導[11],帶負電荷的 ZnPO 骨架其 Zn/P 的比例分布於 (n-1)/n, 1, (n+1)/n 的範圍(n-1)/n= 2 至 6);針對每一項個別比例,分別會有一個 至多個化合物相對應,唯獨最高的比例 Zn/P = 3/2 除外,而如今此空缺已可由 NTHU-9 代表 $[12] \circ [Zn_3Cl(H_2O)(PO_4)_2]$ 包含了三個獨立位置的 四面體 Zn²⁺金屬中心: Zn(1)O₄ 為七連結,與四 面體PO4連結後再透過Zn-O-Zn連接而形成三員 環 (3R) 無限鏈,這是 Zn/P 高比例情形下罕見 的一種結構形式[13]。Zn(2)O4 為五連結,與 PO4 相連後形成梯狀的 4R 無限鏈;至於 Zn(3)O₂Cl(H₂O)則是一種稀有的二連結外吊式 四面體,其頂點上的氯離子(CIT)朝向層間,無機 層間填充了膽鹼離子(原本 DES 中的離子成分

之一)、EG 分子(直接由膽鹼產生,參見下文)、以及[(CH_3) $_2$ tmdp] $^{2+}$ 與[(CH_3) $_2$ bpy] $^{2+}$ 陽離子(有機胺反應物被甲基化),導致出兩種層間成分不同的化合物:NTHU-9-tmdp 與 NTHU-9-MV(此後簡寫爲 9-tmdp 與 9-MV)。

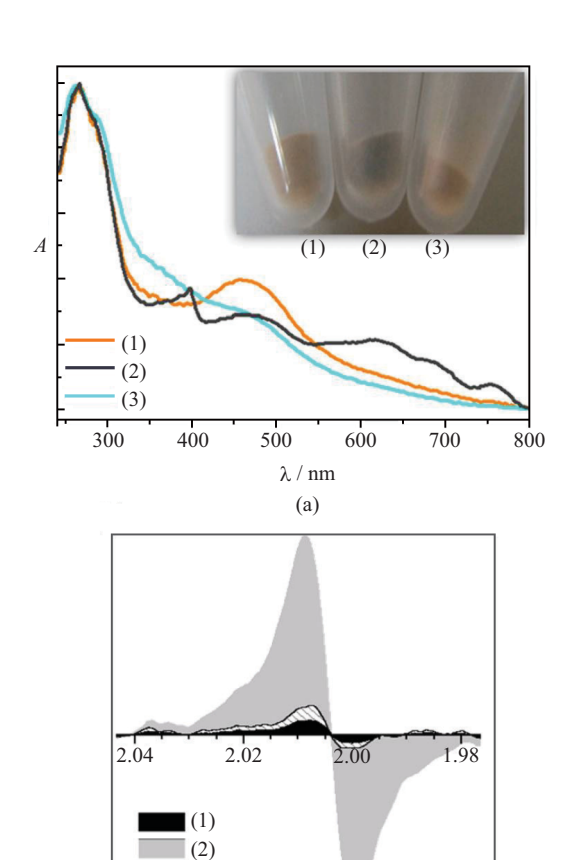
在 9-tmdp 結構內,所有位於層間的模板皆 失序化,難以從電子雲密度圖中定出,因此它們 的存在是經由元素分析、熱重分析、¹³C 固態 NMR 等光譜測量確認。於實驗過程中,當開啓 反應容器時,我們注意到一股不尋常的氣味,懷 疑是 DMAE, 而 DMAE 的存在已於濾液中被偵 測到,並且也在後續實驗中證實。反應濾液內 DMAE 的出現,意味著 DES 中的膽鹼離子被去 甲基化;此外於9-tmdp的電子撞擊質譜(electronimpact mass spectra; EIMS)分析中,我們發現未 預期的質量碎片,可對應至甲基化的 tmdp。於 是我們假定 tmdp 並非如一般狀況下被僅僅是質 子化,而是被反應中直接產生的 CH3+雙甲基 化,形成[(CH₃)₂tmdp]²⁺陽離子,並以次要的客體 物種出現在 9-tmdp 內(主體物種/模板是膽鹼 離子)。爲了驗證此反應機制,我們將 tmdp 置換 成 bpy,得到與 9-tmdp 等結構的 9-MV 後,可直 接從電子雲密度圖中辨識出雙甲基化的 bpy 分 子(圖一)。相對於 9-tmdp, [(CH₃)₂bpy]²⁺是 9-MV 中主要的客體離子。因此,圖二的路徑(1),也就 是膽鹼離子去甲基化形成 DMAE,以及有機胺試 劑的 N,N'-雙甲基化過程就被驗證了。

由變溫粉末 X 光繞射實驗顯示,9-tmdp 結構可穩定至 270° C,9-MV 結構則可穩定至 350° C。然而 TGA 測量結果顯示在更低的溫度時,就有重量損失。後來由 13 C 固態 NMR 證實 9-MV 結構中存在著 EG 分子,此現象可假定是 EG 分子的損失(EG 分子也存在於 9-tmdp 與 9-MV 的反應濾液中)。從 TG 曲線中的前段熱重損失可大致決定兩化合物中 EG 分子的量:至 250° C,9-tmdp 中約有 1.5%;至 330° C,9-MV 中約有 4.3%。據此,我們推算:9-tmdp 的化學式中約有 0.15 EG,而 9-MV 的化學式中則約有 0.4 EG。在越高溫下連續的熱重損失可歸因於 $[Zn_3Cl(H_2O)(PO_4)_2]$ 層上配位水的除去,接著結構便隨之瓦解。

EG 分子來源是甚麼呢?在考慮氯化膽鹼可 進行化學反應的可能性後[14],我們推測: DES 中的水分子(來自於草酸水合物)得以讓膽鹼離子進行水解以產生 EG 分子。而進一步在相似但不含磷來源的離子熱反應中,可證實由 DES 轉變而來的 TMA 離子;此離子熱反應生成了透明的 (TMA)₂ZnCl₄ 晶體[15],也就是說 TMA 確實是來自於 DES。這些發現相當肯定的驗證了圖二中的路徑(2),也就是膽鹼離子轉變成為 EG 分子後,部分進入 NTHU-9 結構內、部分則殘留在濾液中。這是首度觀察到以膽鹼爲基底的 DES 可產生特殊的有機反應。

化合物 9-MV 是第一個具有[(CH₃)₂bpy]²⁺離 子的金屬磷酸鹽結構,其中[(CH₃)₂bpy]²⁺是眾所 周知的甲基紫精(methyl-viologen; MV2+)。在大多 數含 bpy 的 MPO 結構中, bpy 分子傾向於以架 橋基的方式配位至骨架上[16],作爲有機模板的 例子則相當少[17], 更遑論 bpy 的 N,N'-雙甲基 化。當暴露在 X 光之下(粉末繞射實驗所用λ= 1.5418 Å), 9-MV 原本的橘色會立即轉變爲灰色 (圖三(a)),也就是說,MV²⁺陽離子被還原成爲 MV: †自由基。9-MV 中出現的自由基可從 UV-Vis 漫反射光譜中證實,光譜中較尖銳的波鋒(398 nm)與較寬廣的波鋒(620 nm)皆是輻照後產生的 MV: 自由基的特徵[18]。將灰色粉末樣品在空氣 中於 200°C 下加熱 12 小時可回復成橘色,暗示 著 MV·†自由基已氧化回到 MV²⁺陽離子。此光致 變色的逆轉變幾乎完成,可由 EPR 測量得證 (圖 三(b))。與其他具有 MV²⁺陽離子,卻可以僅由 UV 或可見光便可使 MV²⁺還原成 MV·⁺自由基的 結構相比,9-MV 有較高的能量門檻,可能的解 釋爲 9-MV 中有較長的能量傳遞路徑。電荷傳遞 路徑假定是在 MV²⁺離子與[Zn₃Cl(H₂O)(PO₄)₂]⁻ 層間最近的 N···Cl 之間,此距離在 9-MV 中為 4.83 Å,但在可由 UV 活化的光致變色系統中,此距 離卻小於 3.5 Å [19], 顯然在 9-MV 中明顯較長。

有機模板金屬磷酸鹽層狀化合物NTHU-9,是第一個無金屬活化劑的橘光螢光粉。其激發光譜異常寬廣,範圍在350~550 nm。9-tmdp的放光波峰中心爲600 nm,9-MV的放光中心則爲580 nm(圖四(a))。根據我們先前關於綠光與黃光MPOs的研究[4,8],當tmdp以模板形式侷限於奈米尺寸的孔洞時,將成爲敏化劑,於是在NTHU-9層間扮演了額外的角色。在我們發現深紅色黏滯的濾液經稀釋後也可放出橘

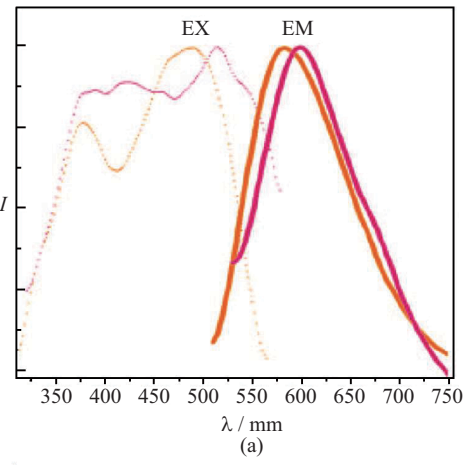


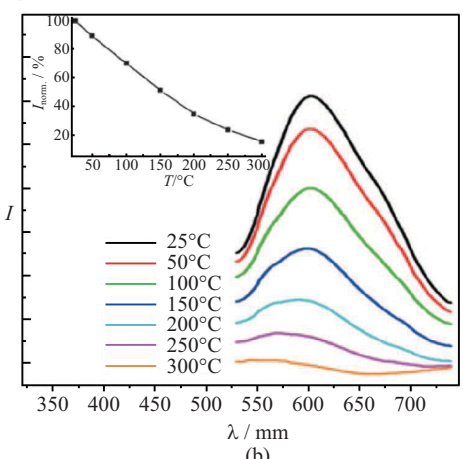
圖三 9-MV 的 UV/Vis 漫反射光譜與粉末 EPR 光譜。(1)初始樣品。(2) X 光輻照後樣品。 (3)輻照樣品加熱後之結果

g-Factor

光,於是我們推測 9-tmdp 與濾液之間應具有相同的放光來源。我們將 EG 與反應起始物混合在一起來模擬濾液,結果發現即使是簡單的 tmdp與 EG 的組合,在加熱至 180°C 之後也會產生與濾液相同的橘光,類似的現象也同樣發生於 9-MV。根據這些事實,我們推斷 EG 與 tmdp(或 bpy) 在模擬的濾液中,會產生交互作用而形成螢光子 (fluorophore),此種螢光子也在 9-tmdp中的 EG 與[(CH₃)₂tmdp]²⁺或 9-MV 中的 EG 與[(CH₃)₂bpy]²⁺之間產生。在固態的 9-tmdp 與 9-MV 中,由於 EG 含量不多,因此隨著加熱此螢光團的量便會迅速減少,這也可解釋爲何溫度升高後,放光強度會異常快速的銳減(圖四(b))。

總結以上,我們展示了以 DES 合成的無金屬活化劑的橘光螢光粉,NTHU-9。它也是金屬磷酸鹽系統中第一個具有雙重光致性質的化合物。此外,DES 的多用涂性也被發現可延伸至常





圖四 NTHU-9 的 PL 光譜。(a)激發(虛線)與 放光(實線)光譜。紅色表示以 510 nm 激發的 9-tmdp;橘色表示以 490 nm 激發 的 9-MV。(b) 9-tmdp 的變溫放光光譜, 左上方插圖顯示放光強度隨溫度的衰減

用且穩定的膽鹼離子,其首度被發現可同時進行兩種化學反應路徑:一種路徑是形成 CH_4^+ ,可導致有機胺模板的 N,N'-雙甲基化而使化合物具有光致變色性質;另一種路徑是水解形成 EG 進入 NTHU-9 的結構當中成爲螢光團,而導致 NTHU-9 的橘光性質。不僅如此,這項研究,更開發了一項以膽鹼爲基底的 DES,作爲原位反應中甲基化試劑的來源,有利於未來進行更多關於如何控制製備新穎功能性材料的機會。

參考文獻

[1] a) E. R. Cooper, C. D. Andrews, P. S. Wheatley, P. B. Webb, P. Wormald and R. E. Morris, *Nature*, **430**, 1012 (2004); b) E. R.

- Parnham, E. A. Drylie, P. S. Wheatley, A. Slawin and R. E. Morris, *Angew. Chem. Int. Ed.*, **45**, 4962 (2006).
- [2] a) A. P. Abbott, G. Capper, D. L. Davies, R. K. Rasheed and V. Tambyrajah, *Chem. Commun.*,
 71 (2006); b) A. P. Abbott, D. Boothby, G. Capper, D. L. Davies and R. K. Rasheed, *J. Am. Chem. Soc.*, 126, 9142 (2004).
- [3] J. Zhang, T. Wu, S. Chen, P. Feng and X. Bu, *Angew. Chem. Int. Ed.*, **48**, 3486 (2009).
- [4] P. C. Jhang, Y. C. Yang, Y. C. Lai, W. R. Liu and S. L. Wang, *Angew. Chem. Int. Ed.*, **48**, 742 (2009).
- [5] a) R. E. Morris, Angew. Chem. Int. Ed., 47, 442 (2008); b) R. E. Morris, Chem. Commun., 2990 (2009).
- [6] Y. P. Xu, Z. J. Tian, S. J.Wang, Y. Hu, L.Wang, B. C.Wang, Y. C. Ma, L. Hou, J. Y. Yu and L.W. Lin, *Angew. Chem. Int. Ed.*, 45, 3965 (2006).
- [7] J. Zhang, S. Chen and X. Bu, Angew. Chem. Int. Ed., 47, 5434 (2008).
- [8] a) Y. C. Liao, C. H. Lin and S. L. Wang, J. Am. Chem. Soc. 127, 9986 (2005); b) Y. C. Yang and S. L. Wang, J. Am. Chem. Soc., 130, 1146 (2008).
- [9] P. C. Jhang, N. T. Chuang and S. L. Wang, Angew. Chem. Int. Ed., 49, 4200 (2010).
- [10] M. F. Tang, Y. H. Liu, P. C. Chang, Y. C. Liao, H. M. Kao and K. H. Lii, *Dalton Trans.*, 4523 (2007).
- [11] R. Murugavel, A. Choudhury, M. G. Walawalkar, R. Pothiraja and C. N. R. Rao, Chem. Rev., 108, 3549 (2008).
- [12] Excluding the neutral compounds $Zn_3(PO_4)_2$ and $Zn_3(PO_4)_2(H_2O)_4$.
- [13] a) S. Neeraj, S. Natarajan and C. N. R. Rao, Chem. Mater., 11, 1390 (1999); b) Y. Xing, Y. Liu, Z. Shi, P. Zhang, Y. Fu, C. Cheng and W. Pang, J. Solid State Chem., 163, 364 (2002).
- [14] R. A. Kozlovsky, V. F. Shvets and M. G. Makarov, Org. Process Res. Dev., 3, 357 (1999).

- [15] K. Hasebe, H. Mashiyama, N. Koshiji and S. Tanisaki, J. Phys. Soc. Jpn., 56, 3543 (1987).
- [16] a)W. K. Chang, R. K. Chiang, Y. C. Jiang, S. L. Wang, S. F. Lee and K. H. Lii, *Inorg. Chem.*43, 2564 (2004); b) C. M. Wang, C. H. Liao, H. M. Kao and K. H. Lii, *Inorg. Chem.*, 44, 6294 (2005).
- [17] S. H. Huang, C. H. Lin, W. C. Wu and S. L. Wang, *Angew. Chem. Int. Ed.* **48**, 6124 (2009).
- [18] T. M. Bockman and J. K. Kochi, *J. Org. Chem.*, **55**, 4127 (1990).
- [19] G. Xu, G. C. Guo, M. S. Wang, Z. J. Zhang, W. T. Chen and J. S. Huang, *Angew. Chem. Int. Ed.*, 46, 3249 (2007).